

НЕУСТОЙЧИВОСТЬ ВНУТРЕННИХ ВОЛН ОТ ЦИЛИНДРА В СДВИГОВОМ ПОТОКЕ С БОЛЬШИМ ЧИСЛОМ РИЧАРДСОНА

B. И. Букреев

(Новосибирск)

Рассматривается динамическая система, состоящая из двух жидкостей с плотностями ρ_1 и $\rho_2 < \rho_1$, движущихся плоскопараллельно над горизонтальным дном с постоянными скоростями u_1 и u_2 и глубинами H_1 и H_2 (индекс 1 относится к нижнему, 2 — к верхнему слою). В зоне контакта жидкостей имеется прослойка с характерной толщиной $\delta \ll H_1, H_2$, в которой плотность и скорость плавно меняются от одного постоянного значения к другому. По критерию [1]

$$Ri = \varepsilon g \delta / (u_2 - u_1)^2 > Ri_*, \quad \varepsilon = \rho_1 / \rho_2 - 1$$

(g — ускорение силы тяжести) система считается устойчивой. Экспериментально выясняется вопрос о том, могут ли в ней потерять устойчивость волны, генерируемые поступательно движущимся цилиндром. Для дальнейшего можно принять $Ri_* = 0,25$, поскольку уточнения этой величины [1] при использовавшихся в опытах значениях Ri несущественны.

В настоящее время имеется большое число теоретических работ (достаточно полную информацию о них можно найти в [1—5]), предсказывающих возможность потери устойчивости по иным причинам, чем та, что нашла отражение в упомянутом критерии. Даже малые возмущения, описываемые линейной теорией, могут, например, потерять устойчивость из-за существования в системе волны отрицательной энергии [5]. Возможность потери устойчивости под воздействием возмущений конечной амплитуды значительно увеличивается [2]. Из ранее выполненных экспериментальных исследований устойчивости сдвиговых течений стратифицированной жидкости можно отметить [2, 4, 6], как наиболее близкие к данной работе.

Опыты проводились на установке, схема которой приведена на рис. 1. Она представляла собой капал длиной 5 м, шириной 0,2 м и высотой 0,6 м с горизонтальным дном и стенками из оргстекла. В канал заливался сначала раствор глицерина в воде с плотностью $\rho_1 = 1,013 \text{ г}/\text{см}^3$ и вязкостью $\nu_1 = 0,0118 \text{ см}^2/\text{с}$. Затем через поролоновые фильтры, плавающие на поверхности, медленно заливалась дистиллированная вода с $\rho_2 = 1 \text{ г}/\text{см}^3$ и $\nu_2 = 0,0105 \text{ см}^2/\text{с}$. Далее верхний слой приводился в движение пропеллерным насосом со скоростью u_2 . Скорость нижнего слоя с хорошей точностью можно было считать равной нулю (см. рис. 2).

Для выравнивания потока на входе в рабочую часть канала использовались перфорированная труба, фильтр из гравия 1 и горизонтальная пластина 2, расположенная немного выше границы раздела. На выходе из канала устанавливались отогнутая вниз пластина 7, две сетки 5 и цилиндрический обтекатель 6. Все это обеспечивало однородность течения в продольном направлении с вариацией u_2 не более 5 % на 1 м длины и такой уровень неконтролируемых возмущений, при котором визуально различимые волны на границе раздела появлялись лишь при $Ri < 0,8$ (ср. [6]).

Профиль скорости $u(y)$ в показанной на рис. 1 системе координат определялся по траекториям частиц размером около 1 мм, изготовленных

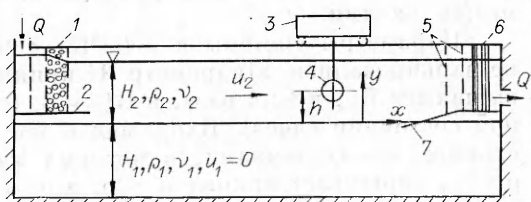


Рис. 1

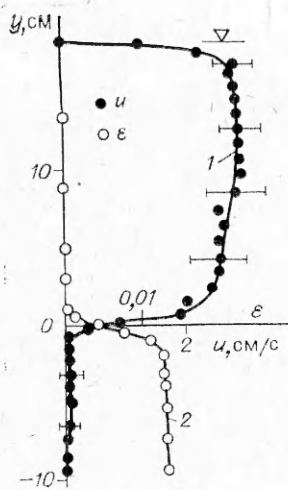


Рис. 2

из смеси канифоли и парафина. Траектории частиц регистрировались кинокамерой, скорость вычислялась по приращению координаты Δx за известное время Δt . Вводилась поправка на оптические искажения при съемке. Используемый далее профиль скорости приведен на рис. 2. Каждая экспериментальная точка получена осреднением по десяти частицам, горизонтальными отрезками указаны интервалы, в которых располагались результаты отдельно взятого измерения. Ордината свободной поверхности помечена треугольником. Плотность определялась взвешиванием образцов, взятых из рассматриваемой точки с помощью медицинской иглы с диаметром отверстия 0,2 мм. Используемый далее профиль плотности приведен на рис. 2 (линия 2).

Цилиндр 4 диаметром $D = 2$ см с помощью тележки 3 двигался перпендикулярно своей оси по траектории $y = h = \text{const}$ со скоростью

$$U = \begin{cases} U_0 [1 - \exp(-t/\tau_1)] & \text{при } 0 < t < T, \\ U_0 \exp(-t/\tau_2) & \text{при } t \geq T, \end{cases}$$

где t — время; U_0 , τ_1 , τ_2 и T — постоянные величины. При этом τ_1 , τ_2 имели порядок 0,2 с, а T варьировалось в пределах 15—150 с, так что почти всю свою траекторию цилиндр проходил в режиме равномерного движения.

В опытах изучалось поведение той поверхности равной плотности $\rho_0 = \text{const}$, $\rho_2 < \rho_0 < \rho_1$, которая при фотосъемке с подкрашиванием нижнего слоя чернилами выглядела на фотоснимках как резкая граница между светлым и темным изображением. В невозмущенном состоянии положение этой поверхности соответствует на рис. 2 значению $y = 0$. И основное течение, и генерируемые цилиндром волны считались устойчивыми, если указанная граница при визуальном наблюдении и на фотоснимках оставалась гладкой. Признаком потери устойчивости служило либо хотя бы частичное обрушение волн, либо перемешивание жидкости между слоями.

Параметры системы $\epsilon = 0,013$, $\delta/H_1 = 0,08$ и $\delta/H_2 = 0,1$ в опытах не варьировались, а параметр Ri принимал два значения: $Ri = 3,1$, превышавшее Ri_* в 12,4 раза, и $Ri \rightarrow \infty$ (случай покоящихся в невозмущенном состоянии слоев). Входящая в эти параметры δ определена как расстояние между точками, в которых касательная к профилю $\rho(y)$ при $\rho = \rho_0$ пересекает прямые $\rho = \rho_1$ и $\rho = \rho_2$. Наиболее существенные параметры возмущения менялись в диапазонах $2 \leq |h/D| \leq 6$, $0 \leq Fr = (2 + \epsilon)U_0^2/\epsilon g R \leq 81$, $400 \leq Re = U_\infty D/v_2 \leq 4000$. В них $R = D^2/2$, $U_\infty = |U_0|$ при движении цилиндра в нижнем слое и $U_\infty = |U_0 \pm u_2|$ — в верхнем. Важное значение в сдвиговом потоке имеет также знак параметра u_2/U_0 ; в определенных условиях при одной только смене знака этого параметра устойчивые волны меняются на неустойчивые.

Движущийся цилиндр вносит возмущения двух типов. С одной стороны, при его обтекании частицы жидкости приобретают вертикальные ускорения, что приводит в стратифицированной среде к возникновению регулярных внутренних волн. С другой — за цилиндром образуется гидродинамический след, который при рассмотренных в опытах значениях Re был в целом турбулентным, хотя в нем и существовали сильно выраженные упорядоченные (когерентные) структуры. При достижении границы раздела след может вызвать перемешивание жидкости между слоями. В данных опытах такая картина наблюдалась, например, при $Ri \rightarrow \infty$, $h/D = 4$, $Fr = 81$ на расстояниях от цилиндра, превышающих двести

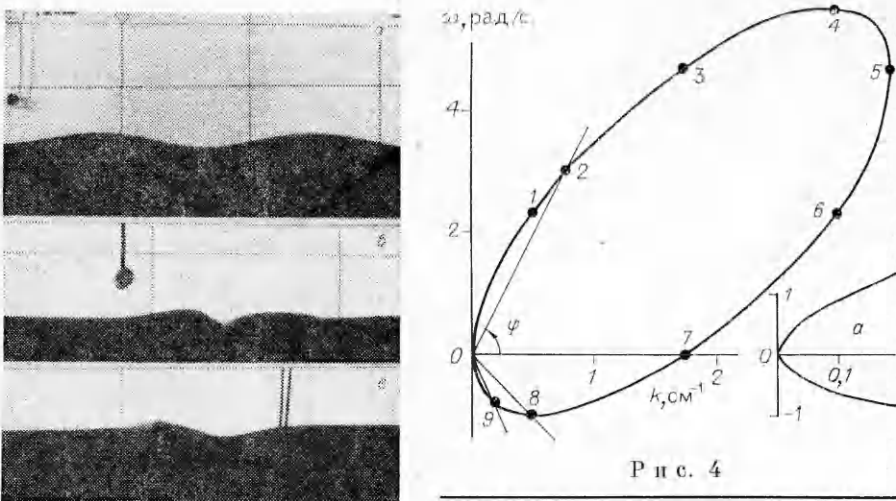


Рис. 4

Рис. 3

его диаметров. Косвенно след вносит вклад и в возмущения волнового типа, усиливая их [7].

Раздельное изучение реакции системы на возмущения двух указанных типов оказывается возможным благодаря тому, что существуют области значений Ri , h/D и Fr , где преобладает либо одно, либо другое из них. Так, при рассмотренных Ri и h/D непосредственное влияние следа сказывалось лишь при $Fr > 50$, тогда как возбуждаемые самим цилиндром знакопеременные волны в зоне выхода следа на границу раздела при $Fr > 20$ становились пренебрежимо малыми. Далее более подробно обсуждаются результаты тех опытов, в которых преобладали возмущения волнового типа.

В покоящейся жидкости ($Ri \rightarrow \infty$) волны от цилиндра устойчивы во всем диапазоне параметров. При этом наибольшее значение параметра $\beta = 2\pi a/\lambda$, характеризующего по [2] крутизну волны, достигало 0,3 (a — амплитуда, λ — длина волны). Расчеты на основе нелинейной математической модели [2] подтверждают возможность существования в покоящейся жидкости устойчивых волн столь значительной крутизны.

В сдвиговом потоке с $Ri = 3,1$ возмущения волнового типа устойчивы при всех Fr , если $|h/D| > 5$. В диапазоне $2 \leq |h/D| \leq 4$ наблюдались как устойчивые, так и неустойчивые волны. Пример устойчивой волны, образующейся при $h/D = 3$, $Fr = 3,37$, $U_0 = -4,62$ см/с, приведен на рис. 3, *a* ($\beta = 0,19$), треугольником помечена свободная поверхность, расстояние между делениями координатной сетки 20 см по горизонтали и 10 см по вертикали.

Неустойчивые возмущения волнового типа, наблюдавшиеся при $Ri = 3,1$, $h/D = 2$, $Fr = 0,7$, $U_0 = -2,11$ см/с, показаны на рис. 3, *b*. В этом режиме во впадинах волн образуются интенсивные вихри, поглощающие почти всю энергию возмущения. При увеличении h/D относительная доля энергии возмущения, переходящей в регулярные волны, непрерывно увеличивается, так что при $h/D > 5$ волны становятся устойчивыми.

На рис. 3, *c* приведен еще один пример неустойчивости возмущений волнового типа, наблюдавшейся при движении цилиндра в нижнем слое в направлении u_2 ($Ri = 3,1$, $h/D = -3$, $Fr = 2,43$, $U_0 = 3,92$ см/с). В этом режиме обрушение волны происходило на ее заднем фронте.

Правомерен вопрос о том, не связана ли неустойчивость возмущений волнового типа с какими-либо особенностями оператора рассматриваемой системы, в частности ее линейного оператора. Важная характеристика линейного оператора — дисперсионное соотношение $\omega(k)$ (ω — круговая частота, k — волновое число). Для сдвигового течения, несколько

отличающегося от рассмотренного профилем скорости, анализ дисперсионного соотношения выполнен в [5]. Дисперсионное соотношение для первой медленной моды в изучавшейся системе приведено на рис. 4. Оно справедливо для невязких жидкостей. Поправка на влияние вязкости может быть введена по формулам из [8]. Анализ показал, что эта поправка существенна при больших k , а для реализованных режимов она не превышала 5 %. Фрагмент *a* на рис. 4 содержит область малых значений k в более крупном масштабе. В этой области сказывается влияние того, что слои в опытах имели конечную глубину.

На приведенной дисперсионной кривой имеется ряд характерных точек. В точке *O* (начало координат) фазовая скорость $c = \omega/k$ равна групповой скорости $c_* = d\omega/dk$ и предельной скорости распространения бесконечно малых синусоидальных волн в системе с конечной глубиной слоев, а при наличии сдвига скорости принимает два значения c_m^+ и c_m^- (в опытах $c_m^+ = 13,9$ см/с, $c_m^- = -10,7$ см/с). Со скоростью, превышающей предельную, в рассматриваемой системе могут распространяться лишь кноидальные, уединенные, прерывные волны и плавные боры, которые линейная теория не описывает.

В точке *5* групповая скорость обращается в бесконечность и теряется устойчивость по механизму Кельвина — Гельмгольца. На дуге дисперсионной кривой *3—5—7* фазовая скорость лежит между u_1 и u_2 . Для возмущений с фазовыми скоростями из этого диапазона в размытой зоне существуют критические слои, через которые малые возмущения практически не проходят.

Для дальнейшего особый интерес представляют пары точек *4*, *8* и *1*, *6*, в которых групповая скорость равна u_1 (в выбранной системе координат — нулю) и u_2 соответственно. Интересно отметить определенную симметрию в расположении восьми отмеченных точек. Если исключить из рассмотрения точки, отвечающие указанным особенностям в групповой скорости, то эта симметрия нарушается.

Чтобы судить о том, какие именно стационарные волны возбуждаются в системе заданным возмущением, нужно построить в области (ω, k) характеристику этого возмущения. При поступательном движении цилиндра уравнение характеристики есть $\omega_* = U_0 k$. Точка ее пересечения с дисперсионной кривой на рис. 4 определяет длину, частоту, фазовую и групповую скорости возбуждаемых цилиндром волн первой медленной моды. На рис. 4 проведены три линии $\omega_*(k)$, соответствующие иллюстрациям на рис. 3.

Линия *08* проходит точно через особую точку *8* дисперсионной кривой, и наблюдается интенсивный процесс потери устойчивости, иллюстрируемый рис. 3, *б*. Линия *02* пересекает дисперсионную кривую на участке между особыми точками *1* и *4* вблизи точки *1*. В этом случае тоже имеет место неустойчивость, иллюстрируемая рис. 3, *в*. Линия *09* пересекает дисперсионную кривую вне интервалов, в которых c или c_* лежат между u_1 и u_2 , и генерируемые цилиндром волны устойчивы даже при больших β (рис. 3, *а*).

Таким образом, в сдвиговом потоке волны от цилиндра могут обрушиваться даже в том случае, когда основное течение устойчиво по линейной теории. При этом предрасположенность к обрушению определяется не только крутизной волны, но и тем, в какой области параметров, определяемых дисперсионным соотношением, происходит их возбуждение. В дополнение к известной информации об особенностях поведения волн в области, где их фазовая скорость лежит между скоростями верхнего и нижнего слоев, обращается внимание на повышенную неустойчивость волновых возмущений, вносимых цилиндром в условиях, когда их групповая скорость лежит между скоростями верхнего и нижнего слоев.

Автор благодарит А. В. Гусева и Е. Ф. Ведерникова за основной вклад в реализацию программы опытов.

ЛИТЕРАТУРА

1. Тернер Дж. Эффекты плавучести в жидкостях.— М.: Мир, 1977.
2. Thorpe S. A. On the shape and breaking of finite amplitude internal gravity waves in a shear flow // J. Fluid Mech.— 1978.— V. 85, pt 1.
3. Ahmed R., Banerjee S. Finite amplitude waves in stratified two-phase flow: transition to slug flow // AlChE J.— 1985.— V. 31, N 9.
4. Koop C. C., McGee B. Measurements of internal gravity waves in a continuously stratified flow // J. Fluid Mech.— 1986.— V. 172.— P. 453.
5. Деркач М. И., Стененко А. Г. Устойчивость сдвиговых течений в верхнем слое океана при наличии волн отрицательной энергии // Мор. гидрофиз. журн.— 1987.— № 1.
6. Andow T., Nanawa K., Toba Y. Experimental study of internal waves in a stratified shear flow // J. Oceanogr. Soc. Japan.— 1981.— V. 37.— P. 179.
7. Букреев В. И. Волны на границе раздела двух жидкостей разной плотности, генерируемые движением кругового цилиндра и симметричного крыла // ПМТФ.— 1980.— № 1.
8. Букреев В. И., Гусев А. В., Струрова И. В. Генерация внутренних волн при совместном поступательном и колебательном движении цилиндра в двухслойной жидкости // ПМТФ.— 1986.— № 3.

Поступила 9/VI 1987 г.

УДК 532.593

АДАПТАЦИЯ НАЧАЛЬНЫХ УСЛОВИЙ ДЛЯ ВНУТРЕННИХ ВОЛН В СЛАБОСЖИМАЕМОЙ ЖИДКОСТИ

B. A. Боровиков, M. Я. Кельберт
(Москва)

1. Рассмотрим линеаризованную систему уравнений гидродинамики стратифицированной жидкости:

$$(1.1) \quad \begin{aligned} \rho_0 u_t + p_x &= 0, \quad p_t - \rho_0 g w + \rho_0 c^2 (u_x + v_y + w_z) = 0, \\ \rho_0 v_t + p_y &= 0, \quad \rho_0 w_t + p_z + g \rho = 0, \\ \rho_t + w d \rho_0 / dz + \rho_0 (u_x + v_y + w_z) &= 0. \end{aligned}$$

Здесь u, v, w — компоненты скорости; p — давление; $\rho_0 = \rho_0(z)$ — невозмущенная плотность; ρ — возмущение плотности; g — ускорение силы тяжести; c — скорость звука.

При формальном предельном переходе $c \rightarrow \infty$ (1.1) преобразуется в систему уравнений внутренних волн:

$$(1.2) \quad \begin{aligned} \rho_0 u_t + p_x &= 0, \quad \rho_0 v_t + p_y = 0, \\ \rho_0 w_t + p_z + g \rho &= 0, \quad u_x + v_y + w_z = 0, \quad \rho_t + w d \rho_0 / dz = 0. \end{aligned}$$

Начальные данные $\tilde{u}, \tilde{v}, \tilde{w}, \tilde{p}, \tilde{\rho}$ для (1.2) нельзя задавать произвольно. Кроме условия несжимаемости

$$(1.3a) \quad \tilde{Q} = \tilde{u}_x + \tilde{v}_y + \tilde{w}_z = 0$$

они должны удовлетворять уравнению

$$(1.3b) \quad \Delta \tilde{p} + g \tilde{\rho}_z - \rho_0^{-1} d \rho_0 / dz (\tilde{p}_z + g \tilde{\rho}) = 0.$$

Поэтому задача Коши для (1.2) требует «согласованных» начальных данных, удовлетворяющих условиям (1.3). В то же время для исходной системы (1.1) начальные данные можно задавать произвольно. Тогда при $c \gg 1$, когда решение системы (1.1) близко к решению предельной системы (1.2), а начальные данные $u^c, v^c, w^c, p^c, \rho^c$ произвольны и не удовлетворяют условиям (1.3), должен происходить процесс «адаптации» начальных данных к этим условиям. Естественно предположить, что этот переходный процесс заключается в излучении звуковых волн, происходит на временах $\tau = L/c$ (L — характерный размер задачи) и приводит к согласованным начальным условиям u, v, w, p, ρ , для которых поле ско-